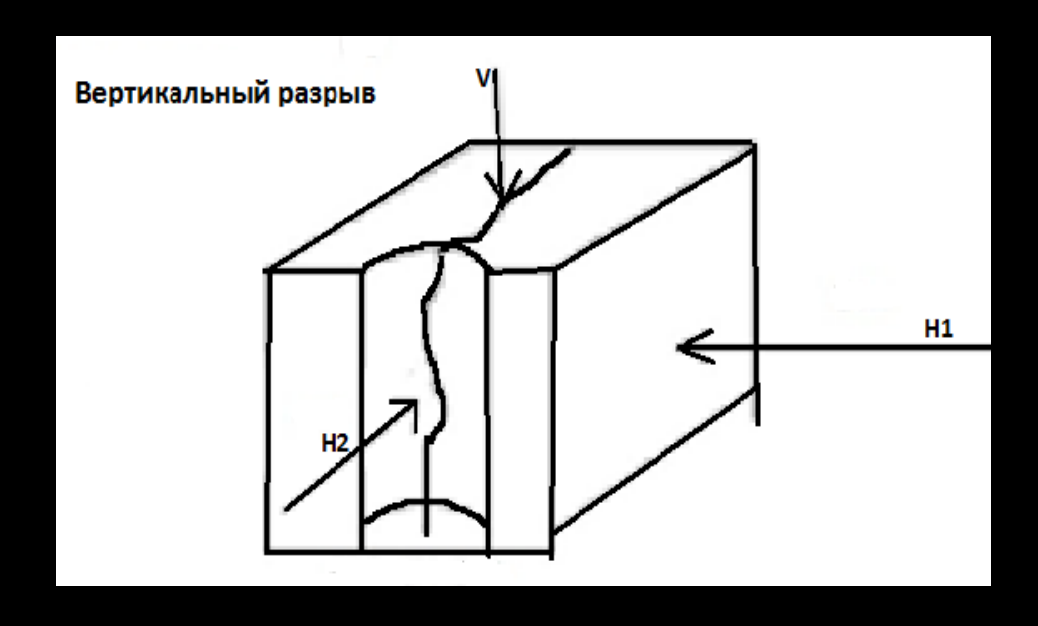
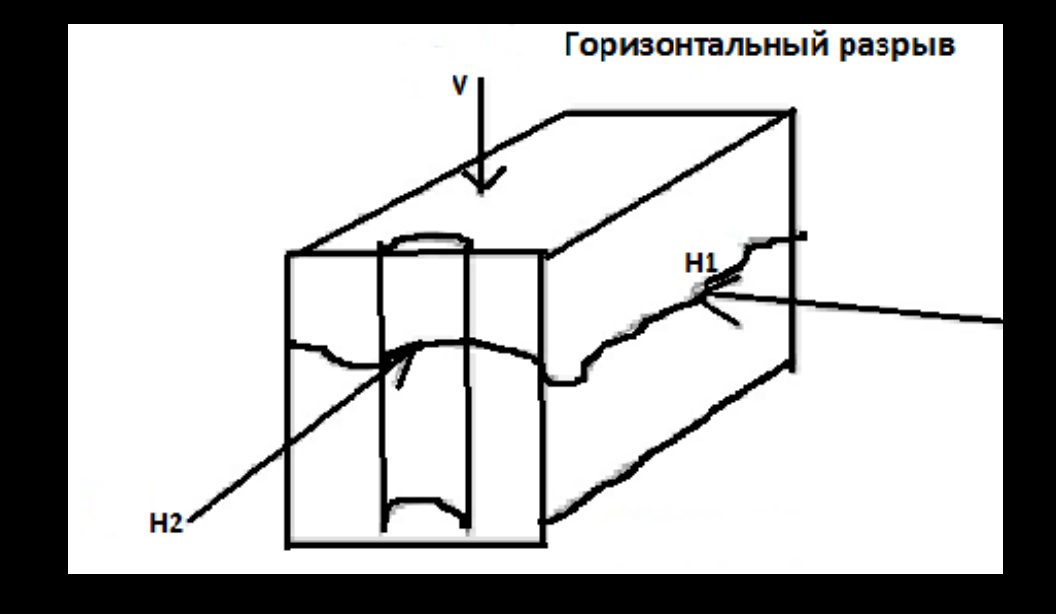
# Особенности распространения дисковой трещины гидроразрыва в лабораторном эксперименте

Дипломная работа на соискание степени магистра Лукиной Анны Александровны

Научный руководитель: Зенченко Евгений Викторович

# Гидравлический разрыв пласта





V > H2 > H1

H2 > V, H1 > V

Схема распространения трещин ГРП в зависимости от напряженно-деформированных состояний массива породы. Вертикальный и горизонтальный разрыв, где H1,H2 – горизонтальные напряжения, V – вертикальное.

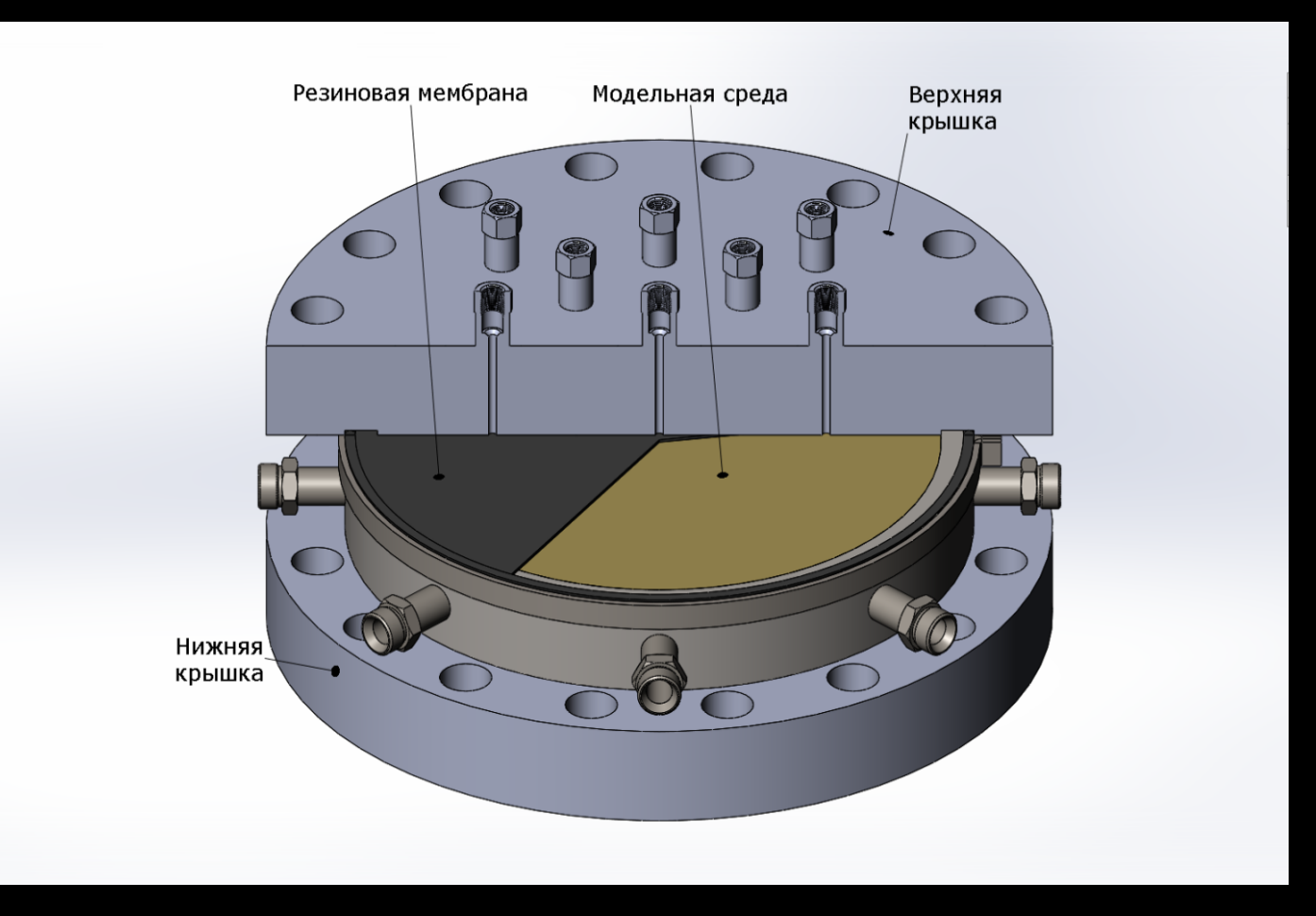
#### Цель

• Исследование распространения трещины гидроразрыва в различных условиях напряженно-деформированного состояния в условиях лабораторного эксперимента.

#### Задачи

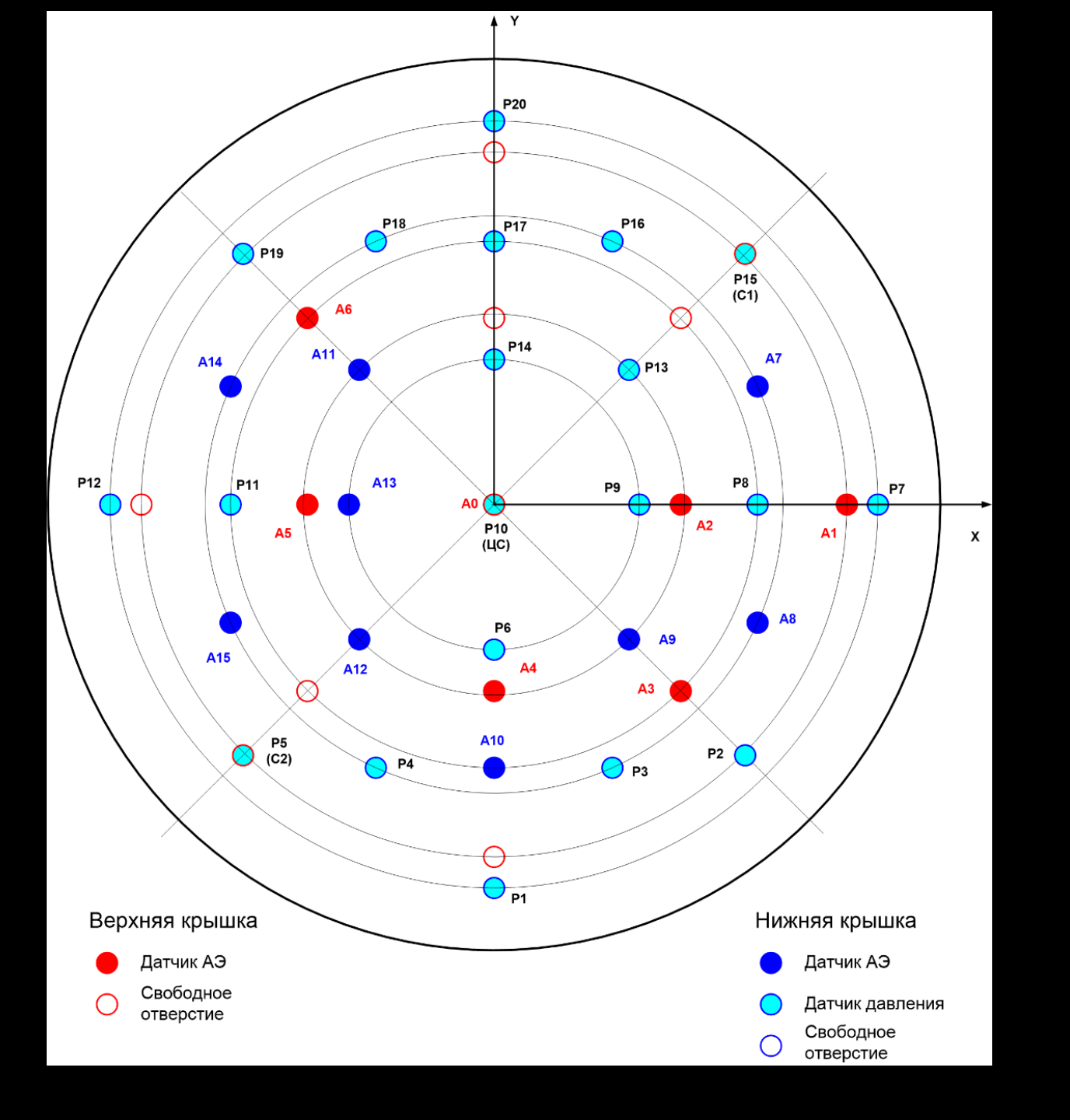
- Исследовать условия возникновения дисковой трещины гидроразрыва;
- Исследовать образование трещины повторного гидроразрыва при изменении напряженно-деформированного состояния;
- Локация источников акустической эмиссии при распространении трещины ГРП;
- Измерение скорости распространения трещины различными методами;
- Измерение скорости распространения фронта жидкости в трещине;

# Экспериментальная установка



Параметры рабочей камеры: диаметр - 430 мм, высота – 70 мм





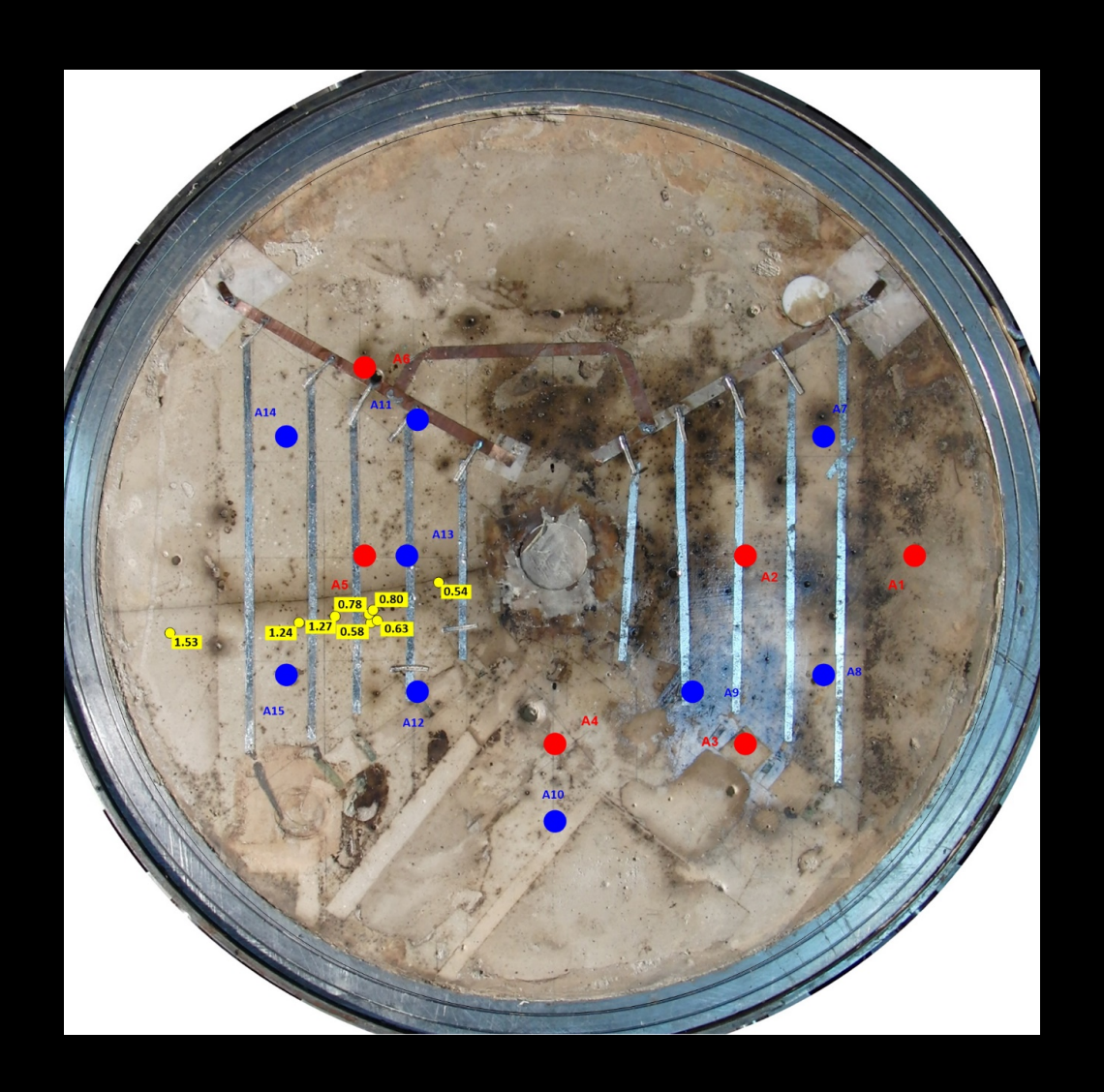


Фото образца после проведения эксперимента. Красные кружки обозначают приемники АЭ в верхней крышке установки, синие — в нижней. Жёлтыми кружками отмечены точки расположения источников акустической эмиссии в горизонтальной плоскости с указанием времени в секундах относительно момента образования трещины.

- Ширина полосок 3 мм, толщина 3 мкм;
- В качестве затравки в образце были проделаны небольшие углубления в середине скважины, глубиной 3 мм, высотой 10 мм;
- Вертикальное давление на образец 6.5 МПа;
- Горизонтальное давление:

X - 1.8-2.2 MΠa,

 $Y - 0.6 M\Pi a;$ 

• Датчики АЭ: А4, А5, А12 и А15;

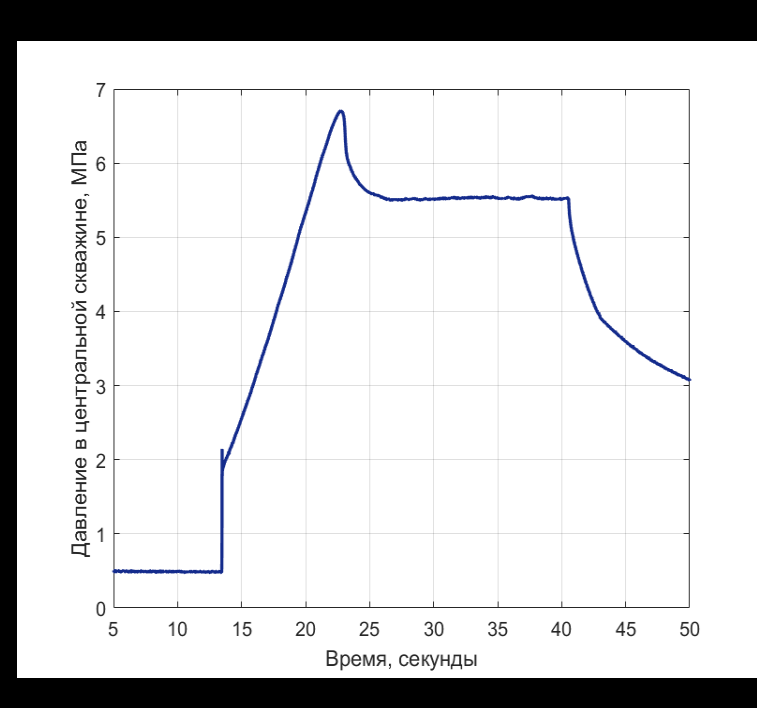
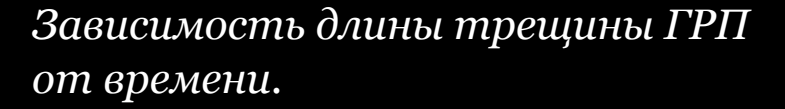
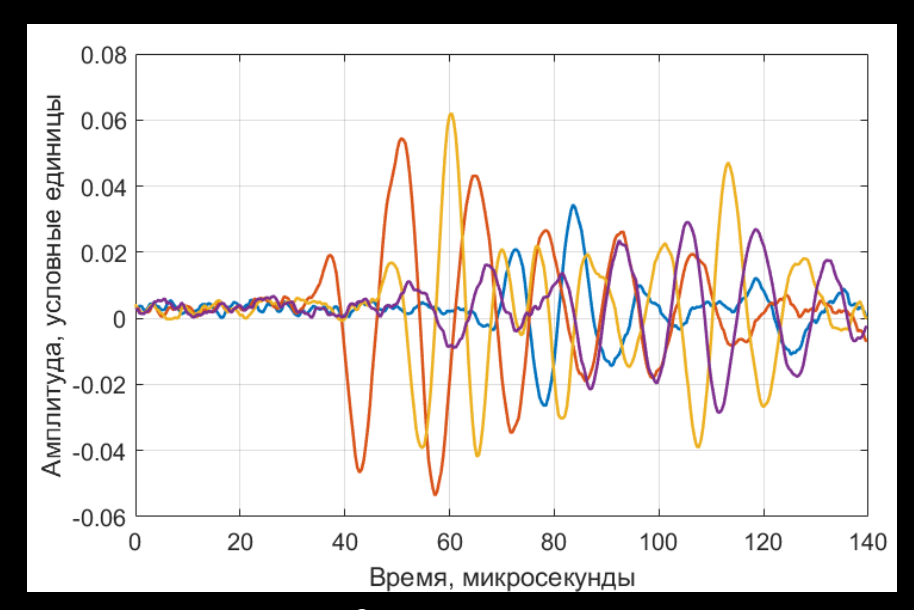
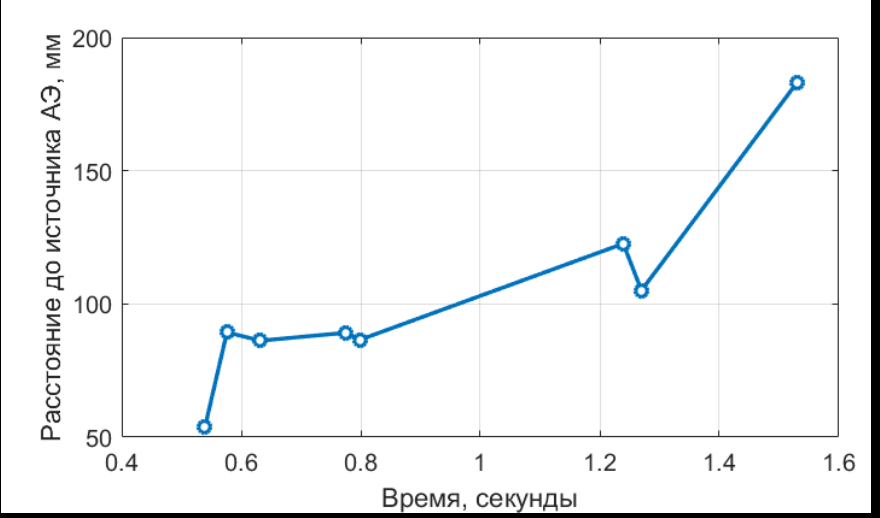


График давления в центральной скважине в процессе ГРП.





Пример записи одного зарегистрированного события АЭ на нескольких каналах.



- Образование трещины произошло при давлении ≈ 6.7 МПа;
- Полоски не порвались в процессе эксперимента;
- Выбранной группой датчиков АЭ было зарегистрировано 13 событий, 8 из которых были надежно локализованы;
- Средняя скорость роста трещины по данным АЭ составляет в этом эксперименте 90 мм/с



Вид гипсового образца после эксперимента.



Центральная скважина с затравкой для горизонтальной трещины ГРП

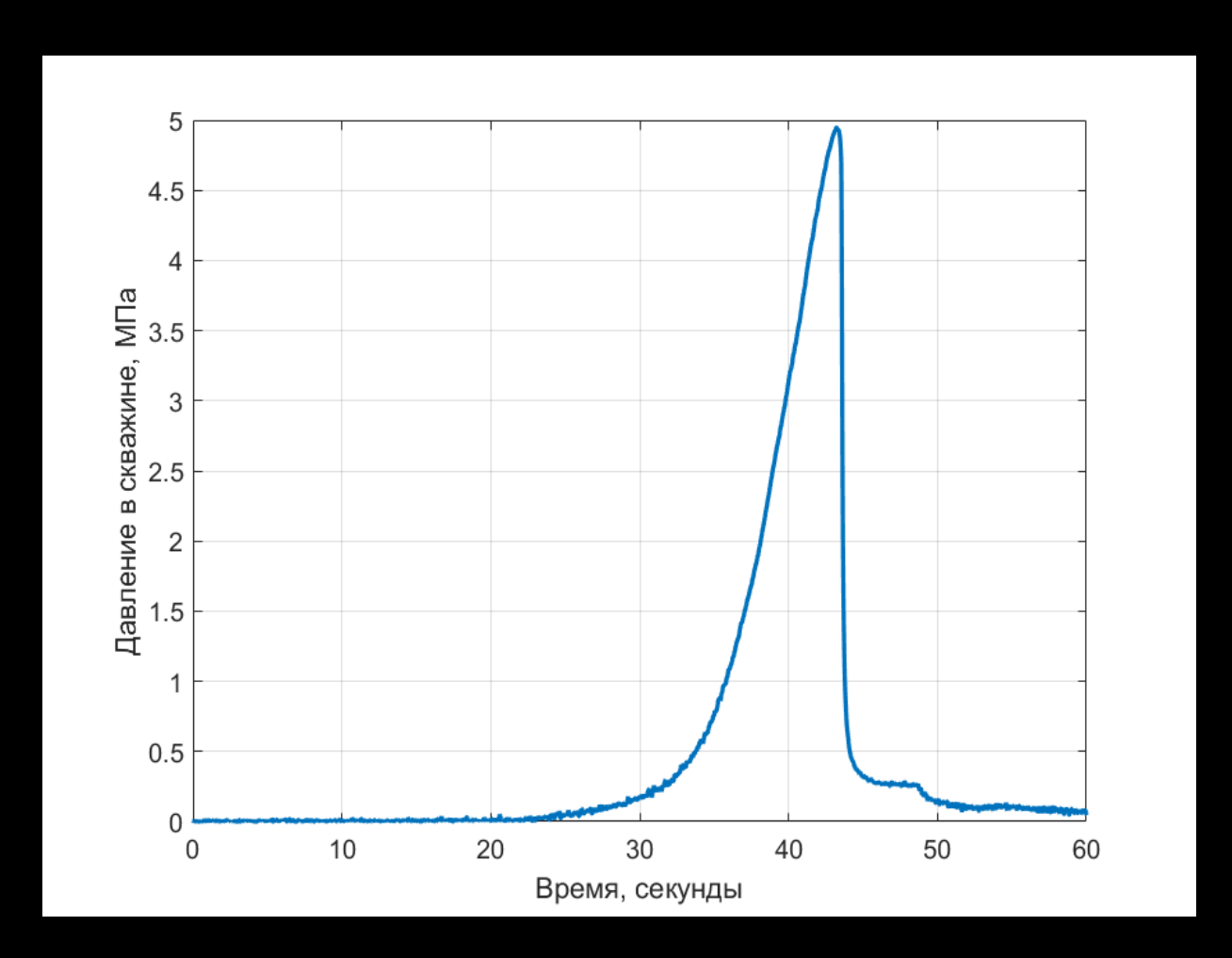
- При заливке образца была использована затравка для трещины;
- Параметры образца:

Диаметр — **105** мм

Высота – 60 мм

Диаметр затравки – 25 мм

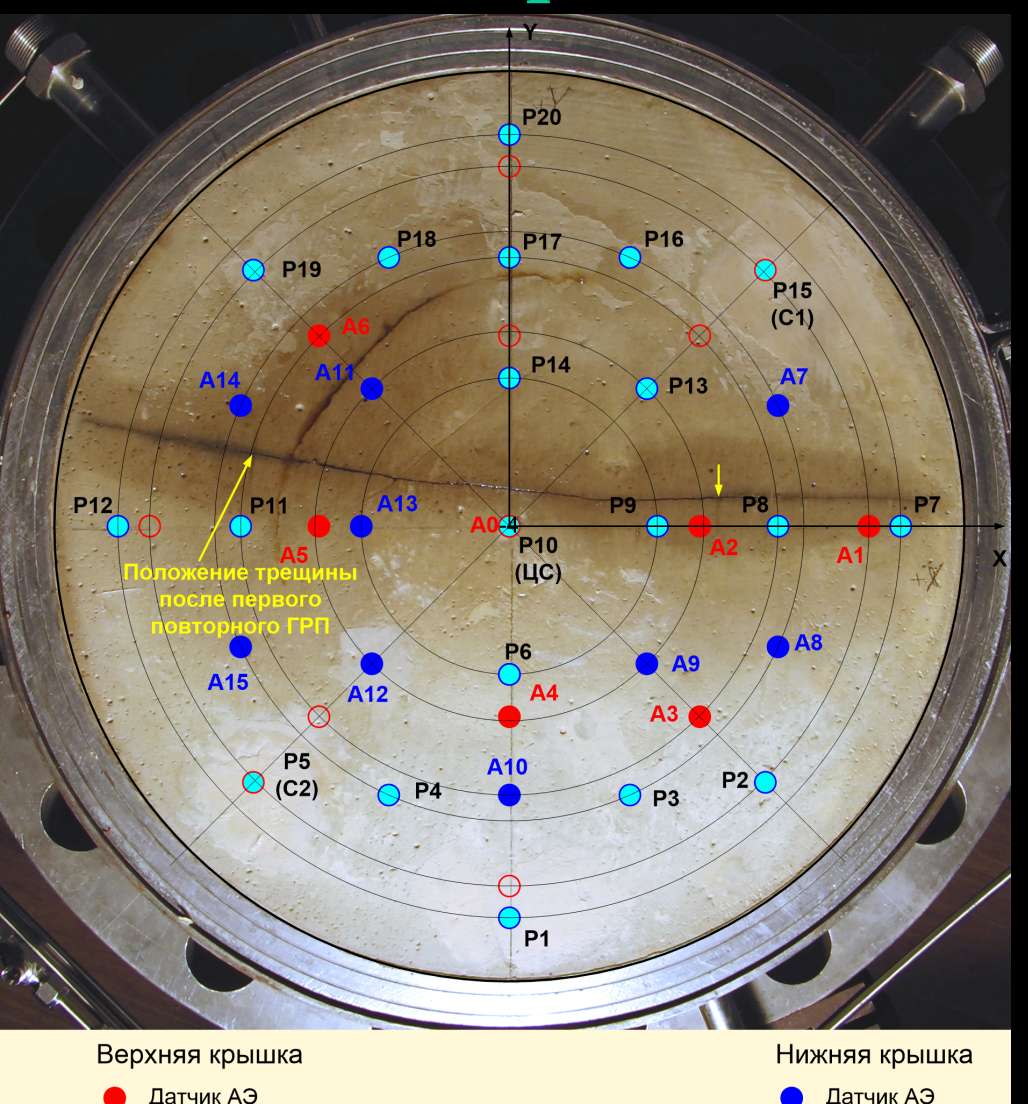
• Давление на образец можно считать незначительным;



- Максимальное давление в скважине ≈ 5 МПа;
- Трещина вышла на поверхность через 0.30 с после начала образования;
- Масло вышло на поверхность еще через 0.28 с после этого;
- Средняя скорость роста трещины 130 мм/с;
- Средняя скорость распространения фронта масла 70 мм/с.

Кривая давления в центральной скважине ГРП от времени.

# Эксперимент № 3 (Горизонтальная трещина)

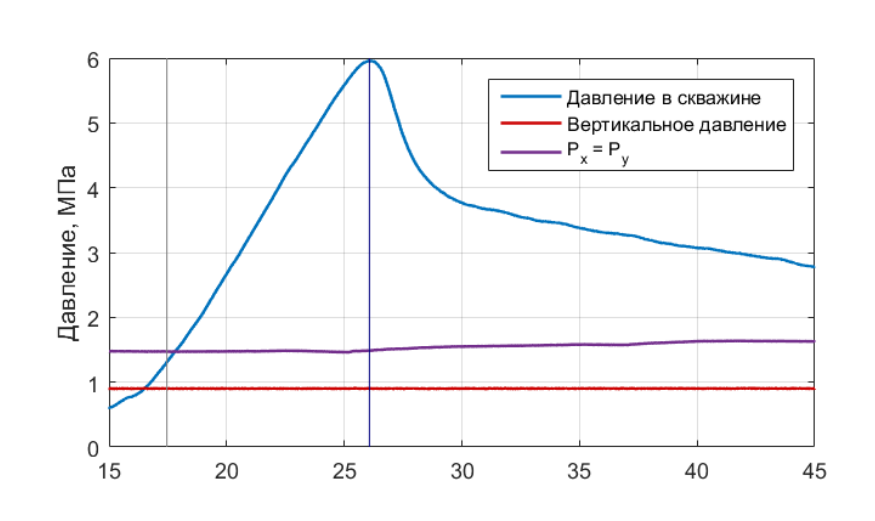


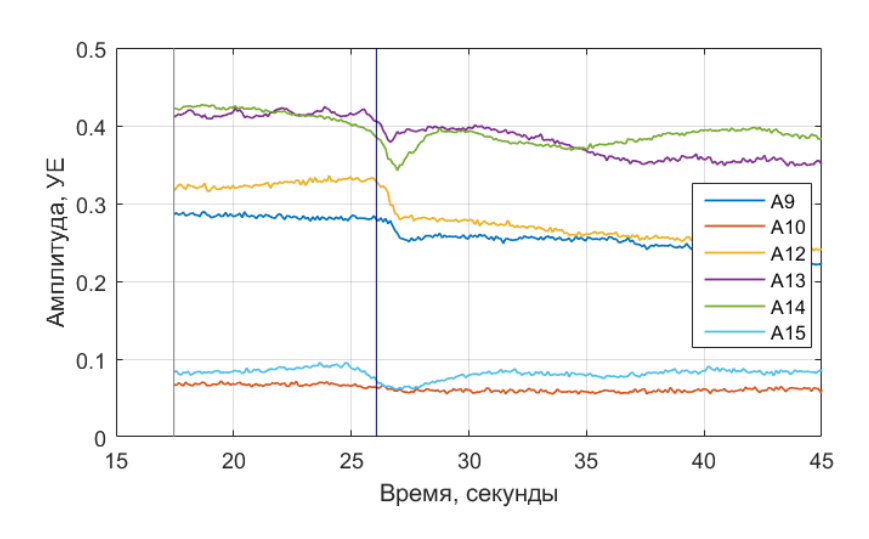
Свободное отверстие

Фото образца после первого и двух повторных ГРП с наложением схемы расположения акустических датчиков и датчиков давления.

- Была использована затравка для создания обсаженной скважины;
- Вертикальное давление установлено на уровне 0.95 МПа;
- Горизонтальные давления ≈1.5 МПа;
- Акустический мониторинг: излучатель Ао, приемники А9, А10, А12, А13, А14, А15 [период повторения импульсов 0.1 c].

# Эксперимент № 3 (Горизонтальная трещина)



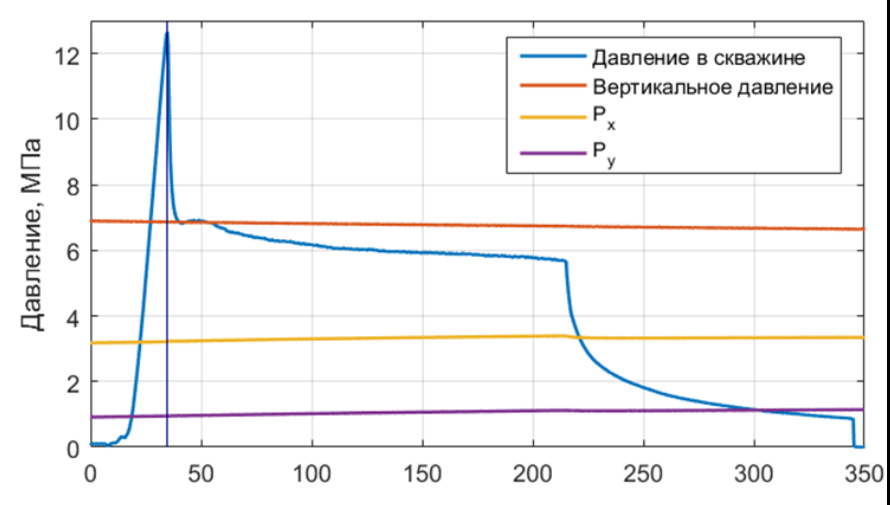


Верхняя панель – графики давления во время эксперимента.
Вертикальная линия – момент достижения максимума давления.

Нижняя панель – изменение амплитуды импульсов с разных датчиков АЭ во время эксперимента

- Максимальное давление ≈ 6 МПа;
- Спад амплитуд начало роста сухой трещины;
- Скачок амплитуд вверх заполнение трещины жидкостью;
- Удалось оценить, что скорость заполнения трещины жидкостью ≈35 мм/с

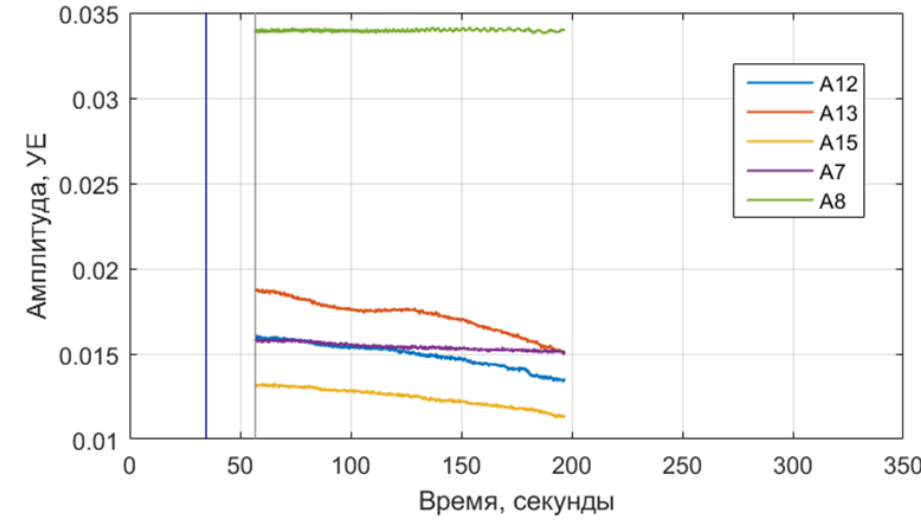
# Эксперимент № 3 (Повторный ГРП)



Верхняя панель – графики давления во время эксперимента.
Вертикальная линия – момент достижения максимума давления.

Нижняя панель – изменение амплитуды импульсов с разных датчиков АЭ во время эксперимента

- Вертикальное давление ≈ 6.2 МПа,
- Давление в горизонтальном направлении ≈ 2.5 МПа,
- Датчики для акустического мониторинга A3, A9, A10 и A12, излучатель A4.
- Максимальное давление в скважине ≈ 12.5 МПа
- Скорость в этом эксперименте измерить не удалось.





Граница вертикальной трещины после первого повторного ГРП

#### Заключение

- Установлено, что источники акустической эмиссии в проведенном эксперименте находятся в узкой окрестности трещины ГРП.
- По данным акустической эмиссии оценена величина скорости трещины ГРП (приблизительно 9 см/с).
- Измерена средняя скорость роста трещины (13 см/с) и распространения по ней фронта жидкости (7 см/с) в ненагруженном образце.
- Установлено, что сухая трещина начинает образовываться до достижения максимального давления в скважине.
- С помощью активной акустики определена средняя скорость распространения фронта жидкости ГРП по сухой трещине в нагруженном образце (3.5 см/с).
- Повторный ГРП в условиях существенного превышения вертикального давления над горизонтальным приводит к возникновению вертикальной трещины.

#### Благодарности

- Автор хочет выразить огромную благодарность своему научному руководителю Евгению Викторовичу Зенченко за неоценимую помощь в выполнении данной дипломной работы и поддержку в решении поставленной цели.
- Автор также выражает свою благодарность Сергею Борисовичу Турунтаеву и Владимиру Владимировичу Жмуру за поддержку исследовательской работы и предоставление шанса на ее выполнение.

# Спасибо за внимание!